



БИООРГАНИЧЕСКАЯ ХИМИЯ

том 15 * № 8 * 1989

УДК 577.112.083.3

МОНОКЛОНАЛЬНЫЕ АНТИТЕЛА К ИСКУССТВЕННОМУ ИММУНОГЕНУ, СПЕЦИФИЧЕСКИ ВЫЯВЛЯЮЩИЕ ФОСФОТИРОЗИНСОДЕРЖАЩИЕ БЕЛКИ

Панютич А. В., Рубикайте Б. И., Войтенок Н. Н.*,
Шидловская Е. А.*[†], Гроховский С. Л., Жузе А. Л.,
Фаворова О. О.*

*Институт молекулярной биологии им. В. А. Энгельгардта
Академии наук СССР, Москва;*

** Научно-исследовательский институт гематологии
и переливания крови МЗ БССР, Минск*

Как установлено в последнее время, фосфорилирование белков по гидроксильной группе остатка тирозина играет существенную роль в регуляции пролиферации клеток. Для идентификации белков, фосфорилированных по тирозину, получены моноклональные антитела (МКА) к искусственноиммуногенам, содержащим в качестве гаптена О-фосфотирозил (рТуг) или трипептид рТуг-Gly-Gly. Гаптены конъюгировали с белками-носителями (бычий сывороточный альбумин, иммуноглобулин человека, гемоцианин виноградной улитки). При иммунизации мышей конъюгатом рТуг-гемоцианин виноградной улитки получены МКА, высокоспецифичные к рТуг, но не реагирующие с О-фосфосерином, О-фосфотреонином и тирозином, а также с вуклеозид-5'-монофосфатами. Полученные антитела специфически реагируют с рТуг-содержащими белками в культуре клеток крыс (линия XC), трансформированных вирусом саркомы Рауса.

Фосфорилирование белковых молекул по гидроксильной группе остатка тирозина (Туг), катализируемое специфическими Туг-протеинкиназами, тесно связано с регуляцией роста клеток. Действительно, при связывании клетками-мишениями таких белков, как эпидермальный, плазмочитарный и инсулиноподобный факторы роста, инсулин, фактор, стимулирующий рост колоний, и, возможно, интерлейкины, их рецепторы приобретают Туг-протеинкиназную активность и сами быстро фосфорилируются по остаткам Туг [1–3]. Рецептор стероидного гормона эстрadiола также фосфорилируется по Туг [4].

Фосфорилирование остатков Туг в белках наблюдается при трансформации клеток. Туг-протеинкиназная активность выявлена у ряда онкобелков — продуктов трансформирующих генов ретровирусов (*v-src*, *v-abl*, *v-fps* и др.) и их клеточных гомологов; онкогенная трансформация клеток такими вирусами сопровождается 10–20-кратным возрастанием содержания О-фосфотирозина (рТуг) в белках [5].

Установлено, что Туг-протеинкиназная активность определенных рецепторов и онкобелков необходима для проявления их биологической активности [6–8]. Однако конкретные механизмы, обеспечивающие вовлечение фосфорилированных по Туг белков (рТуг-белков) в процессы роста и трансформации клеток, остаются неизвестными, несмотря на активную работу в этой области. Для решения этой проблемы нужен простой и универсальный способ идентификации и выделения рТуг-белков из сложных смесей клеточных компонентов.

С начала 80-х годов усилия многих лабораторий были направлены на получение рТуг-специфических антител, в основном поликлональных [9],

Сокращения: рТуг — О-фосфотирозин; рТуг-белки — белки, фосфорилированные по тирозину; KLN — гемоцианин виноградной улитки; BSA — бычий сывороточный альбумин; THF — тетрагидрофуран; ЭСТ — эмбриональная сыворотка телят; МКА — моноклональные антитела; ИФА — иммуноферментный анализ; PBS — 0,05 М Н-фосфатный буфер (рН 7,5), содержащий 0,1 М NaCl.

наличие которых позволило бы выявлять как сами Туг-протеинкиназы, поскольку многие из них катализируют автофосфорилирование собственных остатков Туг, так и их белковые субстраты. За единственным исключением, когда антитела, специфичные для рТуг, были неожиданно получены при иммунизации кроликов фосфорилированным по Туг белком *v-abl* [10], все эти антитела относятся к группе антигаптенных, причем в качестве гаптена использовали как аналоги рТуг (*n*-азобензилфосфонат и N-бромоацетил-О-фосфотирамин), так и сам рТуг, конъюгированные с разными белками-носителями [9]. В работах [11–13] описано получение антигаптенных моноклональных рТуг-специфических антител (МКА). Не все из этих МКА достаточно высокоаффинны и избирательны по отношению к рТуг, чтобы обеспечить специфическое извлечение рТуг-белков, присутствующих в клетке обычно в очень низких концентрациях, из смеси, содержащей множество белков, фосфорилированных по остаткам серина и треонина [14].

Цель настоящей работы — получение рТуг-специфических МКА, обладающих высоким сродством и избирательностью по отношению к рТуг-белкам и пригодных для исследования процессов, связанных с ростом и трансформацией клеток. В качестве гаптена использовали собственно рТуг, а не его аналоги, поскольку это гарантировало большую аффинность и специфичность МКА, а сомнения в иммуногенности рТуг-содержащих конъюгатов, высказывавшиеся в связи с высокой фосфатазной активностью животных тканей, оказались необоснованными [9]. Для получения иммуногенов рТуг или трипептид рТуг-Gly-Gly ковалентно связывали с белками-носителями карбодиimidным методом, обеспечивавшим при синтезе конъюгатов сохранение антигенности коротких пептидов [15].

В качестве исходных критериев специфичности МКА к рТуг мы выбрали следующие: 1) взаимодействие с рТуг вне зависимости от аминокислотного окружения (по данным ИФА с сортированными антигенами, содержащими различные белки-носители); 2) отсутствие перекрестной реакции с О-фосфосерином и О-фосфотреонином, а также с тирозином и нуклеозид-5'-монофосфатами.

При иммунизации мышей конъюгатом рТуг-BSA были выявлены клонны-продуценты МКА, связывающиеся в ИФА с рТуг-BSA, но не с BSA (табл. 1). Однако при использовании для скрининга конъюгата рТуг с другим белком-носителем — иммуноглобулином человека (далее IgG) — ни для одного из полученных МКА не наблюдалось существенного превышения связывания в сравнении с IgG, обусловленного присутствием гаптена. Кроме того, преинкубация культуральной жидкости с рТуг (50 мкг на лунку) не подавляла связывания МКА с рТуг-BSA. Эти результаты свидетельствуют об узнавании МКА «сложной» антигенной детерминанты, включающей и рТуг, и участки структуры белка-носителя, т. е. о недостаточной специфичности полученных МКА к рТуг. Хотя BSA часто используется при приготовлении искусственных антигенов, возможно, что по крайней мере в случае такого небольшого гаптена, как рТуг, BSA является неподходящим белком-носителем.

Для преодоления трудностей, возникших при иммунизации с помощью рТуг-BSA, испробовали два подхода: 1) замену BSA в иммуногене на другой, менее иммуногенный белок-носитель — гемоцианин виноградной улитки (KLH); 2) введение между гаптеном и белком-носителем «спейсера», состоящего из дипептида Glu-Glu. рТуг-Gly-Glu был конъюгирован с KLH.

Результаты исследования специфичности некоторых МКА, полученных при иммунизации рТуг-Gly-Gly-KLH (табл. 2), свидетельствуют, что и в этом случае МКА узнают «сложную» антигенную детерминанту, на сей раз состоящую из рТуг и «спейсера». Однако участки структуры KLH не входят в состав детерминант, так как трипептид рТуг-Gly-Gly реагирует с МКА, будучи конъюгированным и с BSA (табл. 2), и с IgG человека (не показано). Мы приходим к заключению, что KLH удовлетворяет всем требованиям, предъявляемым к белку-носителю в искусственном антигене, а введение спейсера Gly-Gly не дает в нашем случае никаких преимуществ для продукции рТуг-специфических МКА.

Таблица 1

Взаимодействие МКА, полученных при иммунизации рTyr-BSA, с сорбированными антигенами (по данным ИФА)

Шифр гибридомы	Связывание МКА с антигенами, $A_{492} \cdot 10^3$			
	BSA	pTyr-BSA	IgG	pTyr-IgG
Б-26	198	637	162	304
Б-27	50	407	154	341
Б-30	111	897	159	316
Б-31	106	789	149	304
Б-32	74	688	170	324
Б-40	102	855	155	295
Б-41	93	652	167	274
Б-42	74	674	173	286
Б-44	47	690	190	304
Б-45	196	835	165	234
Б-47	184	738	167	275
Б-48	120	825	152	252
Б-49	75	771	174	300
Б-53	62	831	195	240
Б-55	56	616	145	231

Таблица 2

Взаимодействие МКА, полученных при иммунизации рTyr-Gly-Gly-KLH, с сорбированными антигенами (по данным ИФА)

Шифр гибридомы	Связывание МКА с антигенами, $A_{492} \cdot 10^3$		
	BSA	pTyr-Gly-Gly-BSA	pTyr-BSA
Г-3	158	685	179
Г-6	171	2328	189
Г-9	146	611	182
Г-10	209	2074	172
Г-11	72	1395	66
Г-12	116	889	115
Г-14	250	2165	411
Г-17	37	965	75
Г-18	408	2368	412
Г-21	292	2438	369
Г-22	93	1564	149
Г-23	473	2509	490
Г-24	575	2597	563

Таблица 3

Взаимодействие МКА, полученных при иммунизации рTyr-KLH, с сорбированными антигенами (по данным ИФА)

Антигены	Культуральный супернатант (1 : 100), $A_{492} \cdot 10^3$	Очищенные МКА, K_a, M^{-1}
BSA	68	—
pTyr-BSA	865	$3 \cdot 10^9$
IgG	63	—
pTyr-IgG	1367	$8 \cdot 10^9$

* Константы сродства измеряли неконкурентным методом [16].

Действительно, при иммунизации мышей конъюгатом рTyr-KLH были получены МКА, способные узнавать рTyr независимо от природы белка-носителя (табл. 3). Титры всех антигантенных МКА оказались весьма высоки как в культуральной среде ($4 \cdot 10^{-3}$), так и в асцитной жидкости ($5 \cdot 10^{-5}$). Очистка МКА из асцитной жидкости на колонке с DEAE-Affigel blue привела к выделению практически гомогенного иммуноглобулина (рис. 1), относящегося к IgG1-подклассу. Далее описываются свойства этих МКА.

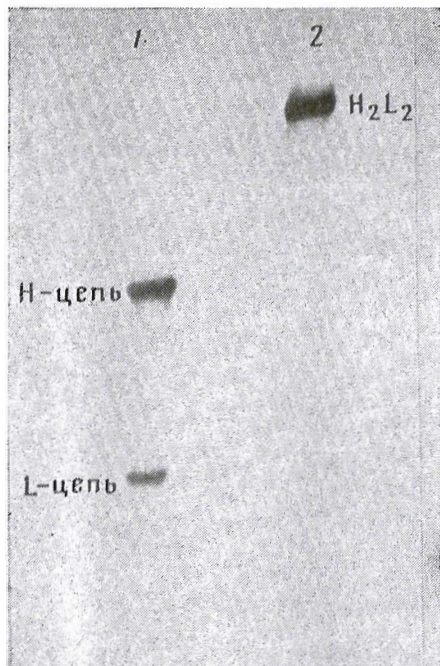


Рис. 1

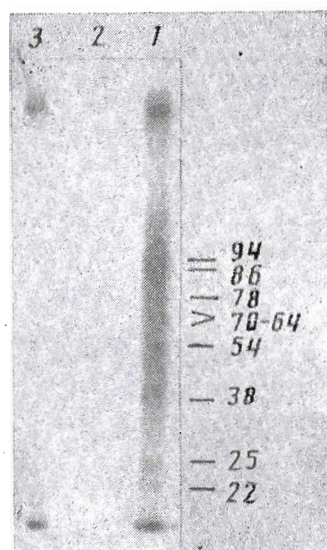


Рис. 3

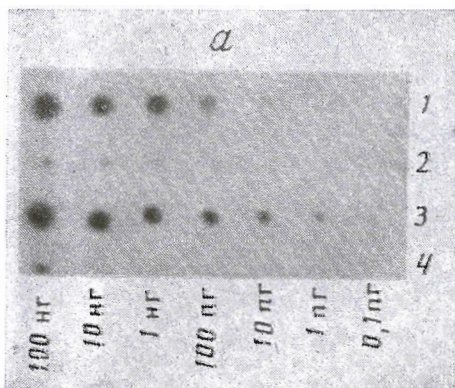


Рис. 2

Рис. 1. Электрофорез в присутствии додецилсульфата На в 7-22% ПААГ МКА, полученных при иммунизации рТуг-КЛН: МКА, очищенные на DEAE Affi-Gel blue, обрабатывали буфером Лэммли с добавлением (1) и без добавления (2) 1% меркаптоэтанола. Гель окрашен Кумасси G-250

Рис. 2. Специфичность полученных МКА к рТуг: а – «дот»-анализ с различными антигенами: рТуг-BSA (1), BSA (2); рТуг-IgG (3); IgG (4). Внизу – количества нанесенного белка. б – влияние преинкубации с фосфаминокислотами и Туг на связывание МКА с рТуг-BSA (2 мкг на лунку) при ИФА. Асцит в разведении 1:10⁵ преинкубировали с рТуг (1), О-фосфосериином (2), О-фосфотреонином (3), Туг (4)

Рис. 3. Иммунопреципитация с помощью рТуг-специфических МКА белков, меченых ^{32}P в культуре клеток ХС (1), и их конкурентное вытеснение 10 мМ рТуг (2). В качестве контроля использовали МКА HTF-14 (3). Иммунопреципитаты анализировали электрофорезом в ПААГ (7-22%) и радиоавтографировали на пленке РМВ («Тасма») в течение ночи. Цифрами справа обозначены молекулярные массы фосфобелков (в кДа)

Определенные методом неконкурентного ИФА в твердой фазе [16] константы сродства (K_a) МКА для искусственных антигенов (табл. 3) свидетельствуют о высоком сродстве к рТуг. Найденные значения кажущихся K_a лежат в диапазоне 10^9 – 10^{10} М⁻¹, т. е. примерно на 3 порядка превышают значения для поликлональных рТуг-специфических антител, полученных при иммунизации конъюгатами азобензилфосфонат-КЛН [17] и рТуг-гаммаглобулин кур [18]. Данные «дот»-анализа (см. «Экспериментальную часть») подтверждают вывод о высоком сродстве МКА к рТуг. С помощью МКА удается выявить радиоиммунным методом до 0,1 пг рТуг-IgG, что соответствует чувствительности порядка 10^{-16} моль рТуг (рис. 2, а). При использовании в качестве антигена рТуг-BSA чувствительность хотя и высока, но меньше на несколько порядков; следовательно, вывод о независимости связывания МКА от аминокислотного окружения гаптена в антигене носит неабсолютный характер. Следует, однако, подчеркнуть, что остатки рТуг, судя по полученным данным, являются критическими, по современной терминологии [19], для узнавания антигена полученными МКА.

Об избирательном сродстве МКА к рТуг свидетельствуют данные рис. 2, б. При конкурентном ИФА реакция МКА с рTug-BSA на 85% блокировалась 4 мМ рТуг, по незначительно ингибиравалась О-фосфосерином, О-фосфотреонином и нефосфорилированным Туг.

Известно, что рТуг-специфические антитела, в частности МКА, полученные при иммунизации азобензилфосфонатом [11], взаимодействуют с некоторыми нуклеозид-5'-монофосфатами. Мы убедились, что AMP, CMP, GMP и UMP при концентрациях 4 мМ не ингибируют связывания МКА с рTug-BSA. Эти результаты показывают, что полученные нами МКА специфичнее описанных в работах [11, 12] и по крайней мере не уступают полученным в работе [13].

Для оценки способности МКА «узнавать» природные рТуг-белки клетки крысиных фибробластов линии XC, трансформированные вирусом саркомы Рауса, метаболически метили [³²P] ортофосфатом в культуре и подвергали иммунопрепарации. Связанные молекулы анализировали методом электрофореза в ПААГ в присутствии додецилсульфата Na (рис. 3). МКА осаждают набор ³²P-содержащих белков (дорожка 1), не осаждающихся контрольными антителами НTF-14 (дорожка 3); преинкубация антител с рТуг подавляет связывание ³²P-белков (дорожка 2). Эти данные свидетельствуют о специфическом взаимодействии полученных МКА с белками, фосфорилированными по Туг. Основные иммунореактивные фосфобелки характеризуются *M* 94, 86, 54 и 38 кДа. Полосы, соответствующие Туг-специфической протеинкиназе pp60^{v-src}, не выявлено, однако белок pp54 совпадает по подвижности с первым продуктом эндогенного протеолиза pp60^{v-src}, фосфорилированным по Туг [20]. Еще два основных обнаруженных фосфобелка имеют близкую подвижность с белками, идентифицированными как субстраты pp60^{v-src} – pp85 [21] и pp36 (см. [5]), а фосфобелок с подвижностью 94–95 кДа выявлен в реакциях с рТуг-специфическими антителами в трансформированных вирусом саркомы Рауса клетках в работе [12]. Кроме перечисленных, мы выявили фосфобелки с *M* 78, 25 и 22 кДа, дублет 70–64 кДа и миорные полосы с подвижностью более 100 кДа.

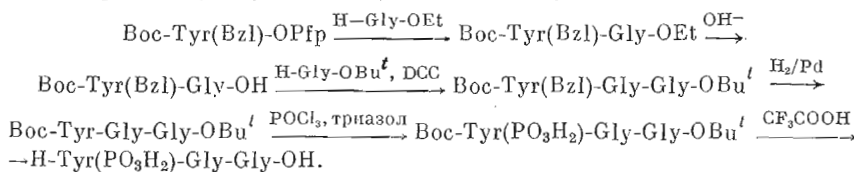
Таким образом, мы получили высокоаффинные антигаптенные МКА против рТуг. Они специфически реагируют с рТуг-белками в трансформированных клетках крыс (линия XC), о чем свидетельствует ингибирование гаптеном иммунопрепарации, и выявляют достаточно большой набор рТуг-белков. Эти МКА, судя по полученным данным, пригодны для выявления и идентификации рТуг-белков в клетках, трансформированных различными вирусными онкогенами или стимулированных факторами роста, а также для препартивного выделения рТуг-содержащих белков из клеток и тканей. Есть все основания надеяться, что они окажутся полезным инструментом для исследования роли фосфорилирования Туг в регуляции пролиферации и трансформации клеток, а возможно, и для диагностики злокачественного перерождения.

Авторы благодарят Л. Л. Киселева, инициировавшего эту работу и проявлявшего к ней неизменный интерес, а также М. В. Резникова и В. С. Прасолова за культивирование клеток ХС.

Экспериментальная часть

Синтез гаптенов. рTyr был синтезирован по методике [22], его гомогенность проверяли электрофоретически на пластинах (20×20 см) в тонком слое целлюлозы (Schleicher und Schüll G 1440) при pH 3,5 в системе уксусная кислота — пиридин — вода (50 : 5 : 945) в течение 1 ч 15 мин при 1000 В.

Пептид рTyr-Gly-Gly синтезирован по следующей схеме:



В синтезе (на 1-й стадии) использовали этиловый эфир [¹⁴C] глицина (7,5 мКи/ммоль). Индивидуальность полученных соединений контролировали с помощью ТСХ на пластинках Silufol UV-254 (ЧССР) в системах: *n*-бутанол — уксусная кислота — вода (4 : 1 : 1); 1 М ацетат аммония (рН 7,6) — 96% этанол (3 : 7); хлороформ — абс. этанол (95 : 5). Температуру плавления определяли на приборе Boëtius (ГДР). Спектры ¹H ЯМР снимали на ЯМР-спектрометре Varian XL-100 (США) при рабочей частоте 100 МГц в *d*₆-диметилсульфоксида, внутренний стандарт — Me₃Si. Химические сдвиги приведены в миллионных долях; с — синглет, д — дублет, т — триплет, к — квадруплет, м — мультиплет.

1. *Boc-Tyr(Bzl)-Gly-OEt.* а) 10,0 г (27 ммоль) Boc-Tyr(Bzl)-OH (Serva) и 7,4 г (40 ммоль) пентафторфенола растворяли в 50 мл THF, охлаждали до −20° С, прибавляли раствор 5,8 г (28 ммоль) DCC в 20 мл THF и выдерживали 12 ч при −10° С. Осадок отфильтровывали, раствор упаривали и остаток перекристаллизовывали из смеси 30 мл EtOAc, 100 мл гексана и 50 мл пентана. Выход 13,4 г (93%), т. пл. 121–122°. ЯМР: 7,63 д, 1Н (NH); 7,36 м, 5Н (C₆H₅); 7,20 д+6,90 д, 4Н (C₆H₄); 5,06 с, 2Н (CH₂—C₆H₅); 4,48 м, 1Н (CH); 3,05 м, 2Н (CH₂—C₆H₄); 1,37 с, 9Н (Boc).

б) 1,4 г (10 ммоль) хлоргидрата этилового эфира глицина суспендировали в 30 мл THF, прибавляли 1,1 мл (10 ммоль) N-метилморфолина и 5,4 г (10 ммоль) Boc-Tyr(Bzl)-OPfp. Суспензию перемешивали 14 ч при 20° С, упаривали, остаток растворяли в смеси 50 мл этилацетата и 50 мл H₂O, этилацетатный слой отделяли, промывали 2 раза 1 М лимонной кислотой, водой, 9% раствором бикарбоната натрия, высушивали над Na₂SO₄, упаривали и перекристаллизовывали из смеси этилацетат — гексан. Выход 4,2 г (92%), т.пл. 131–133° С. ЯМР: 8,24 т, 1Н (NH—CH₂); 7,35 м, 5Н (C₆H₅); 7,14 д+6,85 д, 4Н (C₆H₄); 6,74 д, 1Н (Boc-NH); 5,05 с, 2Н (CH₂C₆H₅); 4,08 м, 3Н (CH₂CH₃+CH); 3,83 д, 2Н (NHCH₂); 2,80 м, 2Н (CH₂—CH); 1,30 с, 9Н (Boc); 1,18 т, 3Н (CH₂CH₃).

2. *Boc-Tyr(Bzl)-Gly-OH.* К раствору 4,0 г (8,8 ммоль) этилового эфира дипептида в 70 мл метанола добавляли 4 мл водного 4 н. NaOH, выдерживали 1 ч при 20° С, упаривали, остаток растворяли в 150 мл H₂O, осадок отфильтровывали и к раствору прибавляли 20 мл 1 н. лимонной кислоты. Осадок отфильтровывали, промывали водой, высушивали и перекристаллизовывали из смеси этилацетат — гексан. Выход 2,8 г (73%), т.пл. 147–149° С. ЯМР: 8,11 т, 1Н (NH—CH₂); 7,35 м, 5Н (C₆H₅); 7,14 д+6,85 д, 4Н (C₆H₄); 6,74 д, 1Н (NH—CH); 5,04 с, 2Н (CH₂—C₆H₅); 4,10 м, 1Н (CHCO); 3,78 д, 2Н (NH—CH₂); 2,80 м, 2Н (CH₂—CH); 1,30 с, 9Н (Boc).

3. *Boc-Tyr(Bzl)-Gly-Gly-OBu*^t. а) Пентафторфениловый эфир дипептида получали из 2,7 г дипептида по методике, аналогичной «1а». Выход 3,6 г (97%), т.пл. 149–151° С.

б) трет-Бутиловый эфир трипептида получали из 1,5 г пентафторфенилового эфира дипептида и 0,7 г хлоргидрата трет-бутилового эфира глицина (Reanal) по методике, аналогичной «1б». Выход 1,02 г (75%), т.пл. 125–129° С. ЯМР: 8,10 т+7,98 т, 2Н (NHCH_2); 7,35 м, 5Н (C_6H_5); 7,13 д+ +6,84 м, 5Н ($\text{C}_6\text{H}_4+\text{NHCH}$); 5,03 с, 2Н ($\text{CH}_2\text{C}_6\text{H}_5$); 4,09 м, 1Н (CH); 3,73 м, 4Н (CH_2CO); 2,80 м, 2Н (CH_2CH); 1,41 с, 9Н (Bu $'$); 1,30 с, 9Н (Boc).

4. *Boc-Tyr-Gly-Gly-OBu'*. 0,95 г (1,75 ммоль) защищенного трипептида гидрировали 7 ч в 20 мл метанола над палладиевой чернью. Катализатор отфильтровывали, раствор упаривали и остаток перекристаллизовывали из 20 мл этилацетата. Выход 0,75 г (95%), т.пл. 184–186° С. ЯМР: 9,05 с, 1Н (OH); 8,10 т+7,97 т, 2Н (NHCH_2); 6,97 д+6,58 д, 4Н (C_6H_4); 6,83 д, 1Н (NHCH); 4,04 м, 1Н (CH); 3,80 м, 2Н ($\text{CH}_2\text{C}_6\text{H}_4$); 1,41 с, 9Н (Bu $'$); 1,30 с, 9Н (Boc).

5. *Boc-Tyr(PO₃H₂)-Gly-Gly-OBu'*. (CH_3CH_2)₃N. К суспензии 1,0 г (14,5 ммоль) триазола в смеси 12 мл CH_3CN и 2,03 мл триэтиламина по каплям прибавляли 0,44 мл (4,7 ммоль) POCl_3 . Через 30 мин осадок отфильтровывали и раствор прибавляли к раствору 0,66 г (1,46 ммоль) Вос-Tyr-Gly-Gly-OBu $'$ в 5 мл пиридина. Через 2 ч раствор упаривали, к остатку прибавляли 20 мл воды, перемешивали 5 ч при 20° С, упаривали, остаток растворяли в метаноле и наносили на колонку (3×150 см) с сефадексом LH-20. Элюировали метанолом, отбирали фракции по 15 мл. Фракции 38–41 упаривали. Выход 0,42 г (44%). ЯМР: 8,16 т+8,01 т, 2Н (NHCH_2); 7,00 м, 4Н (C_6H_4); 7,85 д, 1Н (NHCH); 4,09 м, 1Н (CH); 3,74 м, 4Н (NHCH_2), 2,94 м, 8Н ((CH_3CH_2)₃N $^+$ $\text{CH}_2\text{C}_6\text{H}_4$); 1,40 с, 9Н (Bu $'$); 1,30 с, 9Н (Boc); 1,15 т, 9Н ((CH_3CH_2)₃N).

6. *H-Tyr(PO₃H₂)-Gly-Gly-OH·(CH_3CH_2)₃N*. К 0,35 г (0,64 ммоль) защищенного трипептида прибавляли 5 мл CF_3COOH , выдерживали 1 ч при 20° С, упаривали, остаток несколько раз упаривали с хлороформом, растворяли в метаноле и разделяли на колонке с сефадексом LH-20 аналогично опыту 5. Фракции 34–40 упаривали, остаток растворяли в воде и лиофилизовали. Выход 0,28 г (89%). ЯМР: 8,77 т+8,14 т, 2Н (NHCH_2); 7,00 м, 4Н (C_6H_4); 7,83 м, 1Н (NHCH); 4,05–3,59 м, 5Н (CH+ NHCH_2); 3,00 м, 8Н ((CH_3CH_2)₃N $^+$ $\text{CH}_2\text{C}_6\text{H}_4$); 1,17 т, 9Н ((CH_3CH_2)₃N).

Получение конъюгатов с белками-носителями. рТуг или рTyr-Gly-Gly конъюгирували с белками-носителями BSA, KLH или IgG как описано в работе [15]. 3 мг гаптена инкубировали с 4,6 мг водорастворимого 1-этил-3-(3-диметиламинопропил)карбодиимида (ECDI) (Sigma) 15 мин при 0° С в минимальном количестве дистиллированной воды/HCl (рН 3,0). Выбранное молярное отношение рTug-ECDI (1 : 2) обеспечивало наилучшую активацию рTug. Затем добавляли при 0° С 9 мг белка-носителя, суспендированного в 0,3 мл воды, и доводили pH до 9 добавлением (NH_4)₂CO₃. Смесь перемешивали 3 ч при 20° С и дialisировали против воды. Концентрацию белка определяли по методике [23]. Количество ковалентно пришитого рTug определяли по содержанию фосфата в конъюгате с помощью микрометода [24]. В качестве контроля использовали белок-носитель, в качестве стандарта – рTug и AMP. Содержание рTug составляло, в зависимости от препарата, от 6 до 16 моль на 1 моль BSA, от 10 до 26 – на 1 моль IgG и от 30 до 50 – на 100 кДа KLH. Конъюгаты с рTug-Gly-Gly содержали, по данным радиоактивности, сходные количества гаптена на моль белков-носителей.

Иммунизация мышей и получение гибридом. Мышей линии BALB/c иммунизировали внутрибрюшинным введением 50 мкг (в расчете на белок) конъюгатов гаптена с белками в 0,15 М NaCl в смеси с равным объемом полного адьюванта Фрейнда (по 0,15 мл). Иммунизацию повторяли через 3 нед тем же количеством антигена с неполным адьювантом Фрейнда. За 3 сут до слияния вводили 100 мкг конъюгата внутрибрюшинно в 0,5 мл 0,15 М NaCl. Гибридизацию $5 \cdot 10^7$ клеток селезенки иммунных

мышей и $1,2 \cdot 10^7$ клеток миеломы мыши X63-Ag8-653 [25] проводили в течение 1,5 мин в 50% растворе полиэтиленгликоля M_r 4000, содержащего 5% диметилсульфоксида [26]. После гибридизации и отмычки клеток от полиэтиленгликоля клетки высевали в 96-луночные панели по $1 \cdot 10^6$ спленоцитов в лунку. Для культивирования и селекции гибридом использовали среду с добавлением 10% эмбриональной сыворотки телят (ЭСТ), 10^{-4} М гипоксантина, $4 \cdot 10^{-7}$ М аминоптерина и $1,6 \cdot 10^{-5}$ М тимицина.

Гибиды-продуценты клонировали один раз методом конечных разведений, высевали по 1 клетке в лунку, содержащую $4 \cdot 10^4$ клеток селезенки.

Получение асцитной жидкости и очистка МКА. Для выращивания гибридом в асцитной форме клетки вводили внутрибрюшинно мышам BALB/c, обработанным пристаном*, в количестве $2,5 \cdot 10^6$ клеток на мышь. Асцит созревал на 12–14-е сут. 2,5 мл асцита, центрифугированного 5 мин при $1000 g$ для удаления клеток, разводили до 15 мл 0,02 М трис-HCl-буфером, pH 7,2, фильтровали через микропористые капроновые фильтры (0,2 мкм, экспериментальная лаборатория р/к «Хийу Калур», Таллинн, ЭССР) и очищали на колонке DEAE Affi-Gel blue (Bio-Rad), как описано в работе [27]. Колонку промывали несколькими объемами того же буфера и иммуноглобулиновую фракцию элюировали в градиенте концентрации NaCl (0–100 мМ; 200 мл, скорость 40 мл/ч). Собирали фракции по 2 мл, иммуноглобулиновые фракции объединяли и хранили при $4^\circ C$ в присутствии 0,02% NaN₃.

Иммуноферментный анализ (ИФА). По 1–5 мкг конъюгатов рTug с белком сорбировали 16 ч в лунках 96-ячеекных микроплат в 50 мкл 0,1 М карбонатного буфера, pH 9,6, при $4^\circ C$. После 5-кратной отмычки дистиллированной водой в лунки вносили 50 мкл культурального супернатанта гибридом, инкубировали 2 ч при $20^\circ C$, вновь отмывали, добавляли кроличьи антитела к иммуноглобулинам мыши, конъюгированные с пероксидазой хрена (Miles), в разведении 1 : 2500 и оставляли на 1 ч при $20^\circ C$. После отмылок в лунки платы вносили раствор гидрохлорида *o*-фенилендиамина (Sigma) (0,6 мг/мл) в цитратно-фосфатном буфере, pH 4,7, содержащем 0,03% H₂O₂. Реакцию останавливали через 10 мин добавлением 100 мкл 1 М серной кислоты, поглощение измеряли на спектрофотометре Titertek Uniscan (Flow Lab, Англия) при длине волн 492 нм.

«Дот»-анализ. Конъюгаты рTug-BSA, рTug-IgG и неконъюгированные BSA и IgG в объеме 2 мкл наносили на листы нитроцеллюлозы (Schleicher und Schüll, BA85), инкубировали ее 1 ч при $20^\circ C$ в PBS, содержащем 0,1% Твин 20, затем 1 ч при $37^\circ C$ в том же растворе, содержащем иммуноглобулиновую фракцию асцита (3 мкг/мл). Нитроцеллюлозу трижды отмывали раствором 0,5% Твина 20 в PBS и обрабатывали 1 ч при $20^\circ C$ ¹²⁵I-меченными кроличьими антителами против IgG мыши (Calbiochem) ($0,5 \cdot 10^6$ имп·мин⁻¹·мл⁻¹ в растворе 0,1% Твина 20 в PBS). Антитела иодировали с использованием хлорамина Т [28]. Нитроцеллюлозу отмывали 5 раз раствором 0,5% Твина в PBS и радиоавтографировали на пленке PMB (Tасма) с экраном ЭУ1-1 при $-70^\circ C$.

Иммунопрепарация. Культивируемые клетки XC (клетки крыс Wistar, трансформированные RSV, шт. Praha C) [29] были получены из лаборатории молекулярной биологии вирусов НИИ канцерогенеза ВОНЦ АМН СССР. Клетки растили в среде DMEM (Flow Lab) с добавлением 10% ЭСТ. Для метаболического мечения клетки ($1 \cdot 10^6$ /90-мм чашку Петри) культивировали 15 ч в бесфосфорной МЕМ-среде (Flow Lab), содержащей 10% дialisированной ЭСТ, и затем добавляли 2,2 мл среды МЕМ, содержащей 700 мКи/мл [³²P] ортоfosфата (5000 Ки/ммоль). После 6 ч инкубации клетки собирали, промывали трижды PBS и лизировали в 0,5 мл RIPA-буфера (20 мМ трис-HCl, pH 7,2; 1 мМ EDTA, 1% Нонидет P40, 1% дезоксихолат Na, 1% додецилсульфат Na, 0,15 М NaCl, 2,5 мМ фенилметансульфонилфторид, лейпептин, пепстатин, химостатин, по 2 мкг/мл каждого, и аprotинин (100 калликреин-ингибиторных единиц/мл). Лизаты осветляли центрифугированием при 10 000 g в течение 30 мин при $4^\circ C$.

* Пристан – 2,6,10,14-тетраметилпентадекап (Janssen Chimica, Бельгия).

и надосадочную жидкость использовали для иммунопреципитации с рТуг-специфическими антителами из иммуноглобулиновой фракции, полученной при осаждении асцитной жидкости мышей 50% сульфатом аммония. Для удаления белков, неспецифически взаимодействующих с иммуноглобулинами, 4 мкл лизата преинкубировали 1 ч при 0° С с 10 мкг асцитной иммуноглобулиновой фракции МКА НTF-14 против трансферрина [30], любезно предоставленных В. Виклицким (Институт молекулярной генетики ЧСАН, Прага), добавляли 20 мкл 10% суспензии иммунопреципитина (BRL) и после инкубации в течение 1,5 ч при 0° С осадок отбрасывали. К надосадочной жидкости добавляли 10 мкг рТуг-специфических МКА (либо тех же МКА, преинкубированных с 150 мкг рТуг, либо МКА НTF-14) и инкубировали 1 ч при 0° С. Иммунопреципитат сорбировали при перемешивании на иммунопреципитине (20 мкг 10% суспензии) в течение 1 ч при 20° С, промывали 3 раза по 1 мл RIPA-буфера, элюировали 30 мкл буфера Лэммли и подвергали электрофорезу в градиенте пористости 7–22% ПААГ в присутствии додецилсульфата Na [31].

СПИСОК ЛИТЕРАТУРЫ

1. Heldin C. H., Westermark B. // Cell. 1984. V. 37. № 1. P. 9–20.
2. Sherr C. J., Rettenmier C. W., Saccà R. // Cell. 1985. V. 41. № 3. P. 665–676.
3. Ogawa R., Sugamura K., Watanabe Y. // Biochem. and Biophys. Res. Commununs. 1987. V. 144. № 1. P. 160–165.
4. Migliaccio A., Rotondi A., Auricchio F. // EMBO J. 1986. V. 5. № 11. P. 2867–2872.
5. Фафрова О. О., Фролова Л. Ю., Прасолов В. С. // Журн. Всесоюз. хим. о-ва им. Д. И. Менделеева. 1986. Т. XXXI. № 3. С. 278–286.
6. Snyder M. A., Bishop J. M., McGrath J. P., Levinson D. A. // Mol. Cell. Biol. 1985. V. 5. № 8. P. 1772–1779.
7. Chou C. K., Dull T. J., Russel D. S., Gherzi R., Lebwohl D., Ullrich A., Rosen O. R. // J. Biol. Chem. 1987. V. 262. № 4. P. 1842–1847.
8. Chen W. S., Lasar C. S., Poenie M., Tsien R. Y., Gill G. N., Rosenfeld M. G. // Nature. 1987. V. 328. № 6133. P. 820–823.
9. Wang J. Y. J. // Anal. Biochem. 1988. V. 172. № 1. P. 1–7.
10. Wang J. Y. J. // Mol. Cell. Biol. 1985. V. 5. № 12. P. 3640–3643.
11. Frackleton A. R., Ross H. A., Eisen H. M. // Mol. Cell. Biol. 1983. V. 3. № 8. P. 1343–1352.
12. Ohtsuka M., Ihara S., Ogawa R., Watanabe T., Watanabe Y. // Int. J. Cancer. 1984. V. 34. № 6. P. 855–861.
13. Glenney J. R., Zokas L., Kamps M. P. // J. Immunol. Meth. 1988. V. 109. № 2. P. 277–285.
14. Северин Е. С., Кочеткова М. Н. Роль фосфорилирования в регуляции клеточной активности. М.: Наука, 1985. 287 С.
15. Tamura T., Bauer H., Birr C., Pipkorn R. // Cell. 1983. V. 34. № 2. P. 587–596.
16. Beatty J. D., Beatty B. G., Vlahos W. G. // J. Immunol. Meth. 1987. V. 100. № 1/2. P. 173–179.
17. Ross A. H., Baltimore D., Eisen H. N. // Nature. 1981. V. 294. № 5842. P. 654–656.
18. Seki J., Owada M. K., Sakato N., Fujio H. // Cancer Res. 1986. V. 40. № 2. P. 907–916.
19. Getzoff E. D., Geysen H. M., Kodda S. J., Alexander H., Tainer J. A., Lerner R. A. // Science. 1987. V. 235. № 4793. P. 1191–1196.
20. Fukami Y., Lipmann F. // Proc. Nat. Acad. Sci. 1985. V. 82. № 2. P. 321–324.
21. Kaplan D. R., Whitman M., Schaffhausen B., Pallas D. C., White M., Cantley L., Roberts T. M. // Cell. 1987. V. 50. № 7. P. 1021–1029.
22. Mitchell H. K., Lunan K. D. // Arch. Biochem. and Biophys. 1964. V. 106. № 1–3. P. 219–222.
23. Bradford M. // Anal. Biochem. 1976. V. 72. № 1/2. P. 248–254.
24. Hasegawa H., Parniak M., Kaufman S. // Anal. Biochem. 1982. V. 120. № 2. P. 360–364.
25. Kearney J. F. // J. Immunol. 1979. V. 123. № 4. P. 1548–1550.
26. Lane R. D., Crissman R. S., Lachman M. F. // J. Immunol. Meth. 1984. V. 72. № 1. P. 71–76.
27. Bruck C., Portetelle D., Glineur C., Bollen A. // J. Immunol. Meth. 1982. V. 53. № 3. P. 313–319.
28. Greenwood F. C., Hunter W. M., Glover J. S. // Biochem. J. 1963. V. 89. № 1. P. 114–123.
29. Svoboda J. // Nature. 1960. V. 186. № 4729. P. 980–983.
30. Bartek J., Viklicky V., Hořejši V., Verlova H. // Folia Biol. 1984. V. 30. № 2. P. 137–140.
31. Laemmli U. K. // Nature. 1970. V. 227. № 5259. P. 680–685.

Поступила в редакцию
29.XII.1988

MONOCLONAL ANTIBODIES TO AN ARTIFICIAL
IMMUNOGEN SPECIFICALLY IDENTIFYING
PHOSPHOTYROSINE-CONTAINING PROTEINS

PANYUTICH A. V.*, RUBIKAITE B. I., VOITENOK N. N.*,
SHIDLOVSKAYA E. A.*[†], GROKHOVSKY S. L., ZHIZE A. L., FAVOROVA O. O.

*Engelhardt Institute of Molecular Biology,
Academy of Sciences of the USSR, Moscow;*

** Institute of Hematology and Blood Transfusion,
Ministry of Health of the Byelorussian SSR, Minsk*

The importance of protein phosphorylation at tyrosyl hydroxy groups in the control of cell proliferation has recently been established. For identification of tyrosine-phosphorylated proteins, monoclonal antibodies (Mabs) against artificial immunogens containing O-phosphotyrosine (pTyr) or tripeptide pTyr-Gly-Gly as haptens were generated; the haptens were coupled to carrier proteins (bovine serum albumin, human immunoglobulin, keyhole limpet hemocyanin). After immunization of mice with pTyr coupled to keyhole limpet hemocyanin, Mabs were generated which were highly specific for pTyr and did not cross-react with O-phosphoserine, O-phosphothreonine, tyrosine or nucleoside-5'-monophosphates. The Mabs specifically react with tyrosine-phosphorylated proteins in the Rous sarcoma virus-transformed rat XC-cell.